

## ВЛИЯНИЕ УГЛА АТАКИ НА УГОЛ ВЫХОДА ПОТОКА ИЗ ПЛОСКОЙ ТУРБИННОЙ РЕШЕТКИ

### УСЛОВНЫЕ ОБОЗНАЧЕНИЯ

- $\beta$  — углы потока и решетки;  
 $i$  — угол атаки;  
 $\lambda$  — приведенная скорость;  
 $\zeta$  — коэффициент профильных потерь;  
 $t$  — шаг решетки;  
 $\bar{t}$  — относительный шаг (отношение шага к хорде);  
 $k_G$  — относительный расходный параметр.

### ИНДЕКСЫ

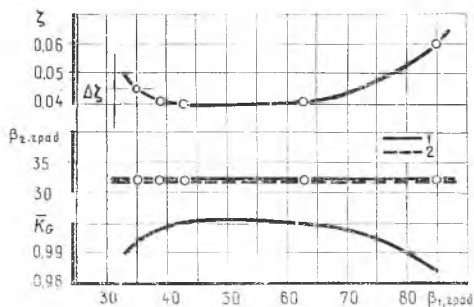
- |                       |                              |
|-----------------------|------------------------------|
| 1 — вход в решетку;   | эф — эффективный;            |
| 2 — выход из решетки; | гр — граничный;              |
| т — теоретический;    | С — в точке горла на слинке. |
| к — конструктивный;   |                              |

При расчете характеристики турбины необходимо учитывать влияние угла атаки  $i = \beta_{1к} - \beta_1$  на параметры потока в лопаточных решетках, в том числе и на угол выхода  $\beta_2$ .

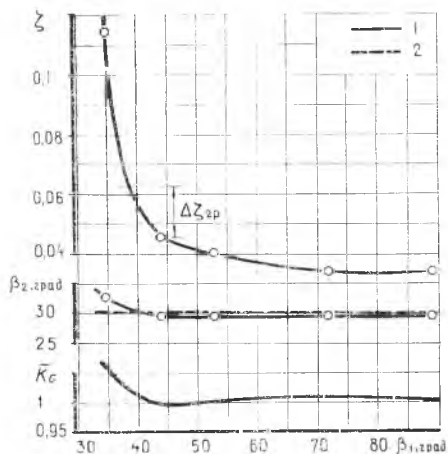
Ошибки в определении величин  $\beta_2$  ведут к ошибкам в определении газодинамических параметров турбины — ее мощности, пропускной способности и др. Эти ошибки приводят к неприятным последствиям уже в том случае, когда используются характеристики турбины еще до ее изготовления, например, при анализе работы проектируемого двигателя на различных режимах. И при анализе результатов испытаний ошибки в расчетном определении угла  $\beta_2$  дают ложное представление о картине течения в проточной части, что в свою очередь препятствует разработке эффективных мероприятий, улучшающих работу двигателя. Этим объясняется большое практическое значение, которое имеет повышение точности расчетных методов определения угла потока на выходе из решетки профилей.

Четких сведений о том, как угол атаки влияет на угол  $\beta_2$ , в известной нам литературе нет. Некоторые авторы считают, что зависимость угла выхода от угла атаки можно пренебречь [1] — [4]; другие, соглашаясь с этим для случая  $i < 0$ , отмечают, что при  $i > 0$  угол  $\beta_2$  имеет тенденцию к росту, который сильнее в менее конфузورных решетках, однако не дают никаких объяснений этому росту и не приводят зависимостей для его учета [5] — [7].

Для уточнения влияния угла  $i$  на угол  $\beta_2$  были проанализированы результаты воздушных продувок плоских решеток, приведенные в работах [8], [9]. Условия продувок были следующие: сословые и рабочие решетки с сужающимися каналами широкого



а)



б)

Рис. 1. Результаты эксперимента и расчетов:

1 —  $\beta_2$  по эксперименту [8], 2 —  $\beta_2$  по расчету [10];  
 а — решетка P4321A,  $\bar{t} = 0,625$ ;  $\lambda_{2T} = 0,81 \div 0,67$ ; б —  
 решетка P5328A,  $\bar{t} = 0,69$ ;  $\lambda_{2T} = 0,65$

данные о которых представлены в табл. 2, при увеличении угла удара в корыто, начиная с некоторого значения  $i = i_{гр}$ , угол  $\beta_2$  возрастает. Пример экспериментальных зависимостей для таких решеток приведен на рис. 1, б.

Эксперименты показывают, что при уменьшении плотности решетки может усиливаться влияние угла атаки на угол  $\beta_2$ . Так, в решетке профилей Т-3 при значении  $\bar{t} = 0,555$  угол выхода не меняется с увеличением угла  $i$  до  $3^\circ$ , в то время как при  $\bar{t} = 0,644$  углу  $i = 3^\circ$  соответствует угол  $\beta_2$ , примерно на  $1^\circ$  больший угла  $\beta_2$  на режиме с углом  $i = 0$  (см. рис. 2).

Диапазон углов  $i$ , в котором угол выхода  $\beta_2$  не меняется, назовем диапазоном слабых углов атаки. Очевидно, знание границ этого диапазона имеет практическое значение при расчете характеристики турбины.

класса; величина  $\lambda_{2T} 0,3 \div 1,4$ ; числа Рейнольдса находились в области автомодельности; степень начальной турбулентности — в пределах 1—2%.

Практически во всех рассмотренных решетках отрицательные углы атаки, при которых проводились продувки, не привели к изменению угла  $\beta_2$  по сравнению со случаем безударного натекания. При этом изменение потерь в решетках по углу входа было обычное: коэффициент  $\xi$  достигал минимума, как правило, при небольших ударах в спинку, а отступления от оптимального угла атаки  $i > 0$  сопровождалась более резким ростом потерь, чем при  $i < 0$  (рис. 1).

Кроме того, при продувке решеток, приведенных в табл. 1, совершенно не обнаружено влияние угла атаки на угол  $\beta_2$  во всем диапазоне значений угла  $i$ , в том числе и при  $i > 0$  (см. рис. 1 и рис. 2, кривая 1).

У другой части решеток,

которые приведены в

табл. 1, совершенно не

обнаружено влияние угла

атаки на угол  $\beta_2$  во всем

диапазоне значений угла  $i$ ,

в том числе и при  $i > 0$  (см. рис. 1

и рис. 2, кривая 1).

У другой части решеток,

которые приведены в

табл. 1, совершенно не

обнаружено влияние угла

атаки на угол  $\beta_2$  во всем

диапазоне значений угла  $i$ ,

в том числе и при  $i > 0$  (см. рис. 1

и рис. 2, кривая 1).

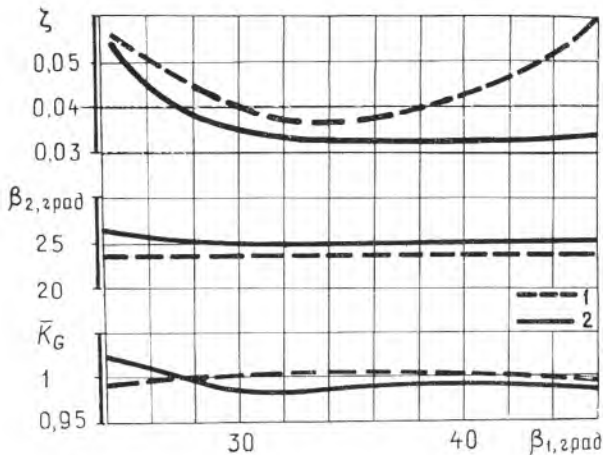


Рис. 2. Результаты эксперимента [9] и расчетов для решетки из профилей Т-3 ( $\lambda_{2T} = 0,33$ ):

1 —  $\bar{\tau} = 0,555$ ; 2 —  $\bar{\tau} = 0,644$

Эксперименты показывают, что при  $i < 0$  граница диапазона слабых углов атаки (если она и существует), лежит в области таких больших углов удара в спилку (иногда больше  $40-50^\circ$ ), при которых решетки не продувались. Следовательно, если в расчете характеристики принять  $\beta_2 = \text{const}$  при всех  $i < 0$ , то это может привести к заметным ошибкам лишь при решении задач, связанных с изучением режимов частичной нагрузки турбины, далеких от расчетного режима.

Было замечено, что характерным показателем влияния угла атаки является скорость изменения коэффициента профильных потерь по углу атаки, т. е.  $\xi' = d\xi/di$ . Оценить величину этого показателя в рассматриваемых решетках несложно, поскольку для каждой из них известна экспериментальная зависимость  $\xi = \xi(\beta_1)$ .

Результаты такой оценки и были использованы при отыскании граничного значения  $i_{гр} = \beta_{1гр} - \beta_2 > 0$ . Для этого были вычислены при  $i > 0$ : а) для каждой решетки табл. 1 максимальное изменение коэффициента потерь  $\Delta\xi$  в пятиградусном диапазоне изменения угла  $\beta_1$  (см. рис. 1, а) и средняя в этом диапазоне скорость прироста коэффициента потерь  $\bar{\xi}' = \frac{1}{5} \Delta\xi$ ; б) для каждой решетки табл. 2 значение  $\Delta\xi_{гр}$  в том диапазоне изменения угла входа  $\beta_{1гр} \div (\beta_{1гр} - 5^\circ)$ , в котором уже заметен рост угла  $\beta_2$  (см. рис. 1, б), и средняя скорость прироста коэффициента потерь  $\bar{\xi}' = \frac{1}{5} \Delta\xi_{гр}$  (см. табл. 1 и 2).

Из вычислений видно, что для решеток табл. 1 величины  $\Delta\xi \leq 0,013$  и  $\bar{\xi}' \leq 0,0026$ ; а для большинства решеток и табл. 2 величины  $\Delta\xi_{гр} = 0,015 \div 0,02$  и  $\bar{\xi}'_{гр} = 0,003 \div 0,004$ .

Таблица 1

Решетка, профиль	Геометрические параметры			Условия продувок		Результаты продувок	
	$\beta_{1к}$ град	$\beta_{2эф}$ град	$t$	$\beta_1$ град	$\lambda_{2г}$	$\Delta\zeta$	$\bar{\zeta}^1$ град <sup>-1</sup>
C9014Б	90	14	0,595	70÷110	0,6÷1,4	0	0
C9017Б	90	17	0,685	70÷110	0,7÷1,4	0	0
C9020А	90	20	0,691	84÷96	0,915	0,0013	0,00026
C7137Б	71	37,5	0,96	60÷80	0,78÷1,1	0,007	0,0014
C7138Б	71	38,5	0,695	60÷80	0,79÷1,1	0	0
P6346А	63	46	0,566	40÷103	0,8÷1,1	0,0025	0,0005
P6332А	63	32	0,716	56÷70	0,925	0,0017	0,00034
P6134А	63	34	0,842	57÷69	0,92	0	0
P4730А	47	30,3	0,665	30÷80	0,815	0,005	0,001
P4231А	42,5	31	0,625	35÷85	0,65÷0,87	0,005	0,001
ТН—1	90	12,5	0,75	40÷140	0,33	0,005	0,001
Т-3	27,5	23	0,555	24÷46	0,33	0,013	0,0026
Т-4	45	30	0,517	35÷55	0,33	0	0
Т-6	65	40	0,484	50÷85	0,33	0,004	0,0008

Таблица 2

Решетка, профиль	Геометрические параметры			Условия продувок		Результаты продувок	
	$\beta_{1к}$ град	$\beta_{2эф}$ град	$t$	$\beta_1$ град	$\lambda_{2г}$	$\Delta\zeta_{гр}$	$\bar{\zeta}^1_{гр}$ , град <sup>-1</sup>
P59534А	59	33,6	0,705	39÷110	0,815	0,02	0,004
P5541А	55	41	0,668	35÷95	0,7	0,015	0,003
P5328А	53,5	28,3	0,69	35÷92	0,64÷0,87	0,017	0,0034
P5140А	51	40	0,613	41÷61	0,76÷1,05	0,015	0,003
P5138А	51	38,5	0,865	41÷61	0,75÷1,08	0,018	0,0036
P5032Б	50	32	0,613	30÷70	0,6÷1,3	0,018	0,0036
P4339А	43	39	0,47	33÷53	1	0,015	0,03
P4240А	42,5	39,6	0,587	30÷85	0,7÷1	0,02	0,004
Т-1	25	17	0,715	15÷35	0,33	0,048	0,0096
Т-3	27,5	25	0,644	24÷45	0,33	0,015	0,003
Т-4	45	33	0,715	34÷56	0,33	0,014	0,0028
Т-6	65	42	0,636	50÷85	0,33	0,01	0,002

Таким образом, можно считать, что в плоской турбинной решетке границе диапазона слабых углов атаки при  $i > 0$  соответствует начало того пятиградусного диапазона углов  $\beta_1$ , в котором коэффициент профильных потерь при увеличении угла атаки возрастает, примерно, на 0,017 (или в котором средняя скорость роста коэффициента потерь равна 0,0034 град<sup>-1</sup>).

В работе [10] получены уравнения для определения угла выхода  $\beta_2$  и предельной скорости на выходе  $\lambda_{2г}^{пред}$  при которой

в горле решетки наступает кризис. При выводе этих уравнений предполагалось, что кромочные потери составляют основную долю потерь в косом срезе при допредельных скоростях на выходе и что обтекание спинки в окрестностях горла безотрывное, т. е. направление потока на спинке в горле (угол  $\beta_c$ ) определяется направлением касательной к спинке. Поскольку эти предположения являются основными из тех, которые можно связать с углом атаки, то, в случае их справедливости для режимов нерасчетного натекания, полученные уравнения будут верны и при  $i \neq 0$ .

Теория и расчет показывают [3], [11], что в достаточно густых решетках течение в косом срезе практически не зависит от условий течения на входном участке канала. Кроме того, эксперименты доказывают [12], что при угле  $i < 0$  отрывы, возникающие со стороны корыта, до выходной кромки обычно не распространяются. Поэтому при  $i < 0$  коэффициент потерь в косом срезе можно определять так, как предложено в работе [10]. При этом все дополнительные потери или уменьшения потерь, связанные с ударом в спинку, будут отнесены к входному участку канала до горла.

Так как при  $i < 0$  нарушений обтекания спинки не наблюдается (см., например, результаты экспериментов в работе [12]), можно считать верным и предположение о направлении потока в горле.

Проверка показала, что расчет угла  $\beta_2$  по уравнению работы [10] дает результаты, хорошо согласующиеся с экспериментами при  $i < 0$  (см. рис. 1). По расчету величины  $\beta_2$  и  $\lambda_{2r}^{\text{пред}}$  в решетке остаются практически неизменными.

Очевидно, указанные предположения будут корректными и при положительных углах атаки  $i < i_{\text{гр}}$  (см. результаты расчетов  $\beta_2$  на рис. 1). Это означает, что слабые удары в корыто приводят к таким отрывам, которые хотя и вызывают заметный рост потерь, но не влияют на характер течения в косом срезе решетки.

Итак, во всем диапазоне слабых углов атаки  $i < i_{\text{гр}}$  угол  $\beta_2$  можно рассчитать с высокой точностью по уравнению работы [10], используя данные в ней рекомендации по определению коэффициента потерь в косом срезе и направления потока в горле.

Рост угла  $\beta_2$  при увеличении угла атаки больше граничного значения  $i_{\text{гр}}$  указывает на то, что произошли существенные нарушения течения в выходной части решетки. И как показывают расчеты, одним увеличением потерь в косом срезе нельзя объяснить полученный в экспериментах прирост угла  $\beta_2$  по сравнению с его величиной в диапазоне слабых углов атаки. Так, например, если в решетке P5328A при  $\beta_1 = 35^\circ$  и  $\lambda_{2r} = 0,65$  даже все дополнительные потери по сравнению с потерями при  $\beta_{1\text{гр}} = 44^\circ$  отнести к косому срезу, то расчетная величина прироста угла  $\beta_2$  будет равняться  $40'$ . Фактический же прирост равен  $\sim 3^\circ$ .

Предположим, что при углах атаки  $i > i_{\text{гр}}$ , вызывающих интенсивный срыв потока на спинке, изменяется направление потока

в горле и увеличивается угол  $\beta_c$ . В этом случае расчет показывает, что средняя скорость потока в горле существенно растет, вследствие чего величина  $\lambda_{2T}^{\text{пред}}$  уменьшается («запирание» наступает при меньшем перепаде давлений на решетке) и увеличивается угол  $\beta_2$ .

Так, в решетке P5328A при  $i \leq i_{\text{гр}}$  угол  $\beta_c = 39^\circ$ ; если при  $\beta_1 = 35^\circ$  выбрать угол  $\beta_c = 70^\circ$  и только половину дополнительных потерь по сравнению с потерями при  $\beta_{\text{гр}} = 44^\circ$  отнести к косому срезу, то расчет по уравнению работы [10] дает совпадающее с экспериментальным значение угла  $\beta_2 = 33^\circ$  (см. рис. 1, б).

Аналогичным подбором величин  $\beta_c$  можно обеспечить совпадение расчетных и экспериментальных значений  $\beta_2$  при  $i > i_{\text{гр}}$  и для других решеток табл. 2. Однако надежные обобщенные рекомендации по коррекции угла  $\beta_c$  получены не были.

Результаты экспериментов позволяют ответить на вопрос, как изменится пропускная способность решетки по углу атаки.

Из уравнения расхода для заданной плоской решетки

$$G = m \frac{p_1^* t}{\sqrt{T^*}} y(\lambda_2) \pi(\lambda_{2T}) \sin \beta_2,$$

где  $G$  — расход газа для единицы высоты решетки,  
 $p^*$ ,  $T^*$  — давление и температура торможения потока,  
 $y(\lambda)$ ,  $\pi(\lambda)$  — газодинамические функции,  
 $m$  — коэффициент по работе [13],

видно, что расходным параметром, пропорциональным пропускной способности решетки при  $\lambda_{2T} = \text{const}$ , является величина

$$k_G = y(\lambda_2) \sin \beta_2,$$

причем приведенная скорость выхода  $\lambda_2 = \lambda_{2T} \sqrt{1 - \zeta}$ .

Для решеток по известным из эксперимента зависимостям  $\zeta = \zeta(\beta_1)$  и  $\beta_2 = \beta(\beta_1)$  расчетом были найдены зависимости относительной величины  $\bar{k}_G = \frac{k_G}{k_G^p}$  от угла  $\beta_1$ , где  $k_G^p$  и  $k_G$  — значения расходного параметра соответственно при расчетном угле входа  $\beta_1 = \beta_{\text{вк}}$  и произвольном значении  $\beta_1$  (см. рис. 1 и 2).

При  $i < i_{\text{гр}}$ , когда  $\beta_2 = \text{const}$ , характер зависимости  $\bar{k}_G = f(\beta_1)$  определяется характером протекания коэффициента  $\zeta$  по углу  $\beta_1$ , причем снижение  $\zeta$  вызывает увеличение  $\bar{k}_G$  (здесь снижение потерь приводит как бы к расширению горла, а рост — к его сужению).

Соответственно этому изменяется и пропускная способность  $\frac{G \sqrt{T^*}}{p_1^*}$ , которая достигает максимума при оптимальном угле атаки, соответствующем минимальным потерям.

При  $i > i_{\text{гр}}$  с увеличением угла атаки из-за роста  $\beta_2$ , несмотря на ускоряющийся рост коэффициента  $\zeta$ , увеличивается и параметр  $k_G$  (см. рис. 1, б и рис. 2, кривая 2). Это увеличение расход-

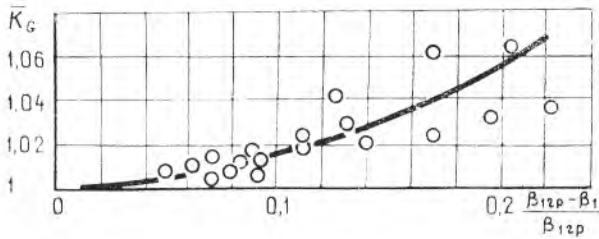


Рис. 3. Влияние угла атаки на пропускную способность решетки (при  $i > i_{гр}$ )

ного параметра, а следовательно, и пропускной способности решетки, по сравнению с его величиной на режиме  $i = i_{гр}$  достигает в рассматриваемых случаях почти 7%.

Согласно работе [10], такой заметный рост пропускной способности решетки можно объяснить увеличением скорости в горле, преобладающим над влиянием факторов, приводящих к сужению горла (т. е. над ростом потерь до горла и ростом угла  $\chi$ , характеризующего отклонение вектора средней скорости в горле от нормали к сечению горла; угол  $\chi$  увеличивается с ростом  $\beta_c$ ).

Значения параметра  $k_G$  для решеток, приведенных в табл. 2, при  $i > i_{гр}$  были представлены функцией относительного параметра  $\frac{i - i_{гр}}{\beta_{1к} + i_{гр}} = \frac{\beta_{1гр} - \beta_1}{\beta_{1гр}}$  (рис. 3). Полученная приближенная зависимость описывается эмпирическим уравнением

$$\bar{k}_G = 1 + 1,4 \left( \frac{\beta_{1гр} - \beta_1}{\beta_{1гр}} \right)^2,$$

которое справедливо при  $i/\beta_{1к} < 0,4$  и  $\zeta < 0,12$ .

Это уравнение совместно с зависимостью  $\zeta = \zeta(\beta_1)$  помогает рассчитать величину угла выхода потока из решетки и позволяет уточнить расчетную характеристику турбины с относительно длинными лопатками в области сильно нагруженных режимов при  $i > i_{гр}$ .

#### ЛИТЕРАТУРА

1. Абианц В. Х. Теория газовых турбин реактивных двигателей. М., «Машиностроение», 1965.
2. Степанов Г. Ю. Основы теории лопаточных машин, комбинированных и газотурбинных двигателей. М., Машгиз, 1958.
3. Дейч М. Е., Филиппов Г. А., Лазарев Л. Я. Атлас профилей решеток осевых турбин. М., «Машиностроение», 1965.
4. Хорлофф Дж. Х. Осевые турбины. (Газовая динамика и термодинамика). М., «Машиностроение», 1972.
5. Шнеэ Я. И. Газовые турбины. М., Машгиз, 1960.

6. Матвеев Г. А. и др. Аэродинамика проточной части судовых турбин. Л., Судпромгиз, 1961.
7. Ainley D. G., Mathieson G. C. R. An examination of the flow and pressure losses in blade rows of axial-flow turbines. «Aeronautical Research Council. Reports & Mem» 1955, № 2891.
8. Емин О. Н., Розанов И. Г. Течение и потери в плоской турбинной решетке профилей. М., Оборонгиз, 1961.
9. Гукасова Е. А. и др. Аэродинамическое совершенствование лопаточных аппаратов паровых и газовых турбин. М.-Л., Госэнергоиздат, 1960.
10. Аронов Б. М., Мамаев Б. И. Определение угла выхода потока газа из плоской турбинной решетки профилей. Известия вузов, «Авиационная техника», 1964, № 1.
11. Жуковский М. И. Расчет обтекания решеток профилей турбомашин. М.-Л., Машгиз, 1960.
12. Дейч М. Е. Техническая газодинамика. М., Госэнергоиздат, 1961.
13. Абрамович Г. Н. Прикладная газовая динамика. М., «Наука», 1969, стр. 222.